

**Zeitschrift:** Elemente der Mathematik  
**Herausgeber:** Schweizerische Mathematische Gesellschaft  
**Band:** 25 (1970)  
**Heft:** 6

**Artikel:** Zur lokalen Approximation einer Raumkurve  
**Autor:** Schröder, Eberhard  
**DOI:** <https://doi.org/10.5169/seals-27361>

### **Nutzungsbedingungen**

Die ETH-Bibliothek ist die Anbieterin der digitalisierten Zeitschriften auf E-Periodica. Sie besitzt keine Urheberrechte an den Zeitschriften und ist nicht verantwortlich für deren Inhalte. Die Rechte liegen in der Regel bei den Herausgebern beziehungsweise den externen Rechteinhabern. Das Veröffentlichen von Bildern in Print- und Online-Publikationen sowie auf Social Media-Kanälen oder Webseiten ist nur mit vorheriger Genehmigung der Rechteinhaber erlaubt. [Mehr erfahren](#)

### **Conditions d'utilisation**

L'ETH Library est le fournisseur des revues numérisées. Elle ne détient aucun droit d'auteur sur les revues et n'est pas responsable de leur contenu. En règle générale, les droits sont détenus par les éditeurs ou les détenteurs de droits externes. La reproduction d'images dans des publications imprimées ou en ligne ainsi que sur des canaux de médias sociaux ou des sites web n'est autorisée qu'avec l'accord préalable des détenteurs des droits. [En savoir plus](#)

### **Terms of use**

The ETH Library is the provider of the digitised journals. It does not own any copyrights to the journals and is not responsible for their content. The rights usually lie with the publishers or the external rights holders. Publishing images in print and online publications, as well as on social media channels or websites, is only permitted with the prior consent of the rights holders. [Find out more](#)

**Download PDF:** 10.04.2026

**ETH-Bibliothek Zürich, E-Periodica, <https://www.e-periodica.ch>**

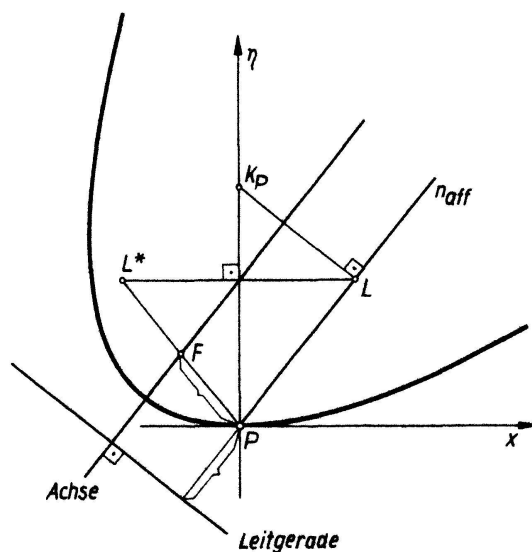
## Zur lokalen Approximation einer Raumkurve

Zur lokalen Approximation einer Raumkurve  $c$  in einem Kurvenpunkt  $P$  werde von der kanonischen Entwicklung der Kurve bezüglich  $P$  unter Einbeziehung sämtlicher Glieder bis zur dritten Ordnung ausgegangen.

$$\left. \begin{aligned} x(s) &= s - \frac{s^3}{6} \kappa^2 + \dots \\ y(s) &= \frac{s^2}{2} \kappa + \frac{s^3}{6} \kappa' + \dots \\ z(s) &= \frac{s^3}{6} \kappa \tau + \dots \end{aligned} \right\} \quad (1)$$

Hierbei ist das Achsenkreuz in der Weise festgelegt, dass die  $x$ -Achse mit der Tangente  $t$ , die  $y$ -Achse mit der Hauptnormalen und die  $z$ -Achse mit der Binormalen von  $c$  in  $P$  zusammenfällt. Bei den in Lehrbüchern üblichen Darstellungen werden nun die Normalprojektionen von  $c$  in die Schmiege-, Normal- und Streckebene bei unvollständiger Auswertung der Reihenentwicklung (1) durch eine Parabel, eine semikubische Parabel bzw. eine kubische Parabel approximiert. Legt man durch je zwei Näherungskurven Zylinderflächen lotrecht zu den Bezugsebenen, so entstehen als Schnittgebilde Raumkurven, die die Ausgangskurve  $c$  in  $P$  von zweiter Ordnung annähern.

Im folgenden soll die Raumkurve  $c$  auf jede Ebene eines Büschels mit der Tangente  $t$  in  $P$  als Bündelträger normal projiziert werden. Von diesen Normalprojektionen  $c'$  werden Krümmungsmittelpunkt und Affinnormale berechnet. Diese ermöglichen es, an jede Projektion  $c'$  die von dritter Ordnung berührende Parabel zu legen. Wählt man zwei beliebige Schmiegeparabeln aus und errichtet in den zugehörigen Bildebenen die darauf normalstehenden parabolischen Zylinder, so stellt die Schnittkurve eine Näherung von dritter Ordnung an  $c$  in  $P$  dar.

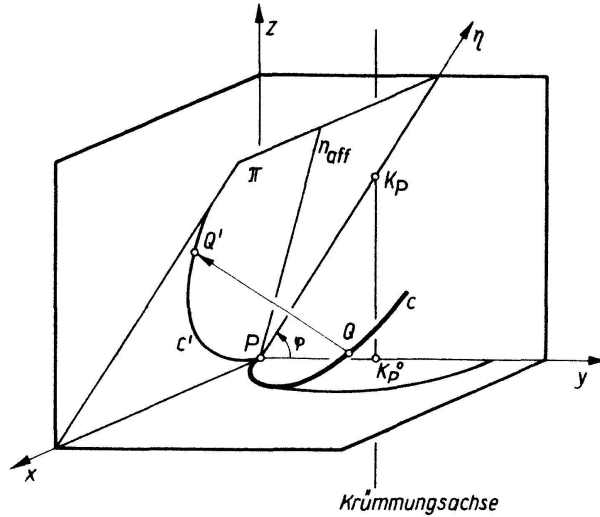


Figur 1

Konstruktion einer Parabel durch  $P$  bei Vorgabe von Krümmungsmittelpunkt und Affinnormale.

Ist  $\varphi$  der Drehwinkel der Bildebene  $\pi$  gegen die Schmiegebene, so lautet die Gleichung der Bildebene

$$y \sin \varphi - z \cos \varphi = 0. \quad \left(-\frac{\pi}{2} < \varphi \leq \frac{\pi}{2}\right). \quad (2)$$



Figur 2

Abbildung der Raumkurve  $c$  auf eine Ebene  $\pi$  des Büschels.

Legt man den Ursprung der Bildebene nach  $P$ , behält die Kurventangente  $t$  als  $x$ -Achse bei und errichtet senkrecht darauf im Sinne eines Rechtssystems die  $\eta$ -Achse, so lauten die Abbildungsgleichungen bei Normalprojektion eines Punktes  $Q(x, y, z)$  nach  $Q'(x, \eta)$  in  $\pi$ :

$$x = x, \quad \eta = y \cos \varphi + z \sin \varphi. \quad (3)$$

Mit (1) ergibt sich für die Normalprojektion der Raumkurve  $c$  auf die Bildebene  $\pi$  folgende Parameterdarstellung:

$$\left. \begin{aligned} x(s) &= s - \frac{s^3}{6} \kappa^2 + \dots \\ \eta(s) &= \frac{s^2}{2} \kappa \cos \varphi + \frac{s^3}{6} (\kappa' \cos \varphi + \kappa \tau \sin \varphi) + \dots \end{aligned} \right\} \quad (4)$$

Für die Krümmung der Kurvenprojektion  $c'$  in  $P$  findet man

$$\bar{\kappa} = \kappa \cos \varphi. \quad (5)$$

Die Krümmungsmittelpunkte der ebenen Bildkurven  $c'$  liegen also auf der Krümmungssache von  $c$  bezüglich  $P$ .

Der Anstieg  $m_a$  der Affinnormalen errechnet sich nach der Formel

$$m_a = \left| \begin{array}{ccc} \dot{x} & \dot{\eta} & 0 \\ \ddot{x} & \ddot{\eta} & \dot{\eta} \\ \ddot{x} & \ddot{\eta} & 3 \ddot{\eta} \end{array} \right| : \left| \begin{array}{ccc} \dot{x} & \dot{\eta} & 0 \\ \ddot{x} & \ddot{\eta} & \dot{x} \\ \ddot{x} & \ddot{\eta} & 3 \ddot{x} \end{array} \right|. \quad (6)$$

Diese liefert bei Anwendung auf (4) die Gleichung der Affinnormalen für die ebenen Bildkurven von  $c$ :

$$\eta = - \frac{3 \kappa^2 \cos^2 \varphi}{\kappa' \cos \varphi + \kappa \tau \sin \varphi} x. \quad (7)$$

In Verbindung mit Gleichung (2) und (3) ergibt sich daraus als Parameterdarstellung für den Affinnormalenkegel durch  $P$ :

$$\left. \begin{aligned} x &= \mu (\kappa' \cos \varphi + \kappa \tau \sin \varphi) , \\ y &= -3 \mu \kappa^2 \cos^3 \varphi , \\ z &= -3 \mu \kappa^2 \sin \varphi \cos^2 \varphi \text{ mit } -\infty < \mu < +\infty . \end{aligned} \right\} \quad (8)$$

Diese Darstellung zeigt, dass es sich bei dem Affinnormalenkegel um einen rationalen Kegel dritter Ordnung handelt. Der Übergang zur impliziten Form führt auf die Gleichung

$$3 \kappa^2 x y^2 + (\kappa' y + \kappa \tau z) (y^2 + z^2) = 0 . \quad (9)$$

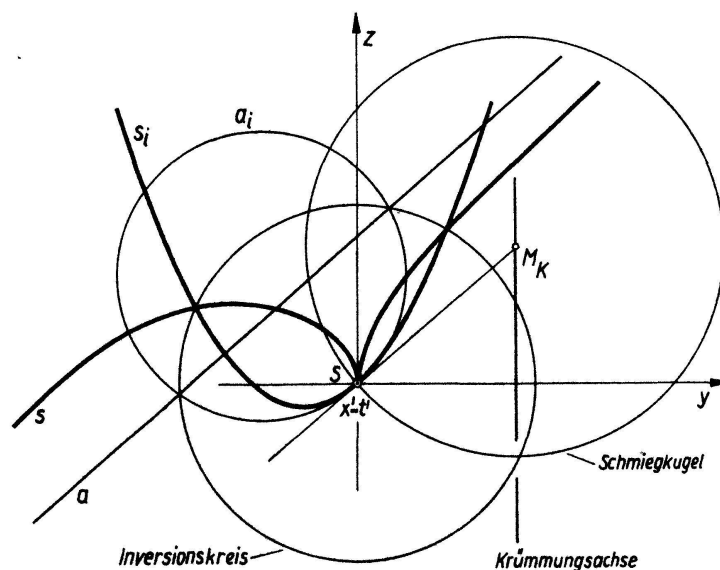
In einer zur Normalebene parallelen Ebene erzeugt dieser Kegel als Spurkurve eine monozirkuläre rationale Kurve 3. Ordnung und 3. Klasse mit einer Spitze im Spurpunkt  $S$  der Kurventangente  $t$ . Setzt man in Gleichung (9)  $x = 1$ , resultiert für die zugehörige Spurkurve  $s$  des Kegels die Gleichung

$$(y^2 + z^2) (\kappa' y + \kappa \tau z) + 3 \kappa^2 y^2 = 0 . \quad (10)$$

Die Spitzentangente von  $s$  in  $S$  ist parallel zur Binormalen und ihre Asymptote parallel zum Berührradius der Schmiegekugel an die Raumkurve in  $P$ . Die Asymptotengleichung lautet

$$z = -\frac{\kappa'}{\kappa \tau} y - \frac{3 \kappa^3 \tau}{\kappa^2 \tau^2 + \kappa'^2} \quad (11)$$

Genau für jene Ebene des Bildebenenbüschels, die den Mittelpunkt der Schmiegekugel enthält, ist  $P$  Scheitelpunkt der zugehörigen Kurvenprojektion. Die Trägergerade des Büschels – also die Tangente von  $c$  in  $P$  – ist Rückkehrkante des Affinnormalenkegels. Die Strecke ebene ist Berührebene des Kegels längs dieser Erzeugenden.



Figur 3

Spurkurve  $s$  des Affinnormalenkegels und invertierte Kurve  $s_i$  in einer zur Normalebene parallelen Ebene.

Für den Fall einer Schraublinie ist die Spurkurve  $s$  symmetrisch zur Spitzentangente und die Asymptote eine Wendeasymptote. Einer Umkehr des Vorzeichens der Windung entspricht eine Spiegelung des Affinnormalenkegels an der Schmiegeebene.

Für den Fall eines Henkelpunktes ( $\tau = 0$ ) zerfällt der Kegel 3. Ordnung in eine Ebene, die Streckeebene, und einen orthogonalen Kreiskegel mit der Tangente  $t$  von  $c$  in  $P$  als orthogonale Erzeugende. Streckeebene und orthogonaler Kreiskegel berühren sich in dieser Erzeugenden.

Invertiert man die Spurkurve  $s$  des Affinnormalenkegels an dem in der gleichen Ebene liegenden Einheitskreis um  $S$ , so geht die durch Gleichung (10) beschriebene Kubik unter Abspaltung linearer Bestandteile in eine Parabel  $s_i$  über, deren Gleichung lautet:

$$(\kappa' y + \kappa \tau z) + 3 \kappa^2 y^2 = 0. \quad (12)$$

Die Achse dieser Parabel ist parallel zur Binormalen, die Parabeltangente in  $S$  parallel zum Berührradius der Schmiegekugel an  $P$  und der Krümmungskreis  $a_i$  der Parabel in  $S$  stellt das Bild der Asymptote  $a$  an die Kubik bei dieser Transformation dar. Damit ist eine konstruktive Bestimmung der Affinnormalen für jede Bildkurve  $c'$  aus  $\kappa$ ,  $\kappa'$ ,  $\tau$  und  $\varphi$  mit klassischen Hilfsmitteln gesichert. Nur für den Fall der Streckeebene als Bildebene zerfällt die Schmiegeparabel, und die Affinnormale fällt in die Tangente  $t$ .

Aus (5) und (6) folgt für die in  $\pi$  liegende Schmiegeparabel an  $c'$ :

$$\{3 x \kappa^2 \cos^2 \varphi + (\kappa' \cos \varphi + \kappa \tau \sin \varphi) \eta\}^2 - 18 \eta \kappa^3 \cos^3 \varphi = 0. \quad (13)$$

Die der Schmiegeebene zuzuordnende Näherungsparabel hat daher die Gleichung

$$(3 \kappa^2 x + \kappa' y)^2 - 18 \kappa^3 y = 0. \quad (14)$$

Für jene Bildebene, welche die Schmiegekugel nach einem Grosskreis schneidet, lautet die Gleichung der Schmiegeparabel

$$\kappa^2 \tau x^2 - 2 \eta \sqrt{\kappa'^2 + \kappa^2 \tau^2} = 0. \quad (15)$$

Errichtet man durch diese beiden konstruktiv leicht erfassbaren Parabeln Zylinder lotrecht zu deren Bezugsebenen, so approximiert die entstehende Schnittkurve die Raumkurve  $c$  in  $P$  von dritter Ordnung. Für Kurvenpunkte, bei denen die Schmiegeebene die Schmiegekugel nach einem Grosskreis schneidet ( $\kappa' = 0$ ), liefert bereits die zugehörige Schraublinie eine adäquate Näherung.

EBERHARD SCHRÖDER, TU Dresden

#### LITERATURVERZEICHNIS

- [1] K. STRUBECKER, *Differentialgeometrie I, Kurventheorie der Ebene und des Raumes* (Walter de Gruyter, Berlin 1964).